

Apéndice B

Análisis Modal

Figura 1

Primera deformación de la estructura circular a 217.82 Hz

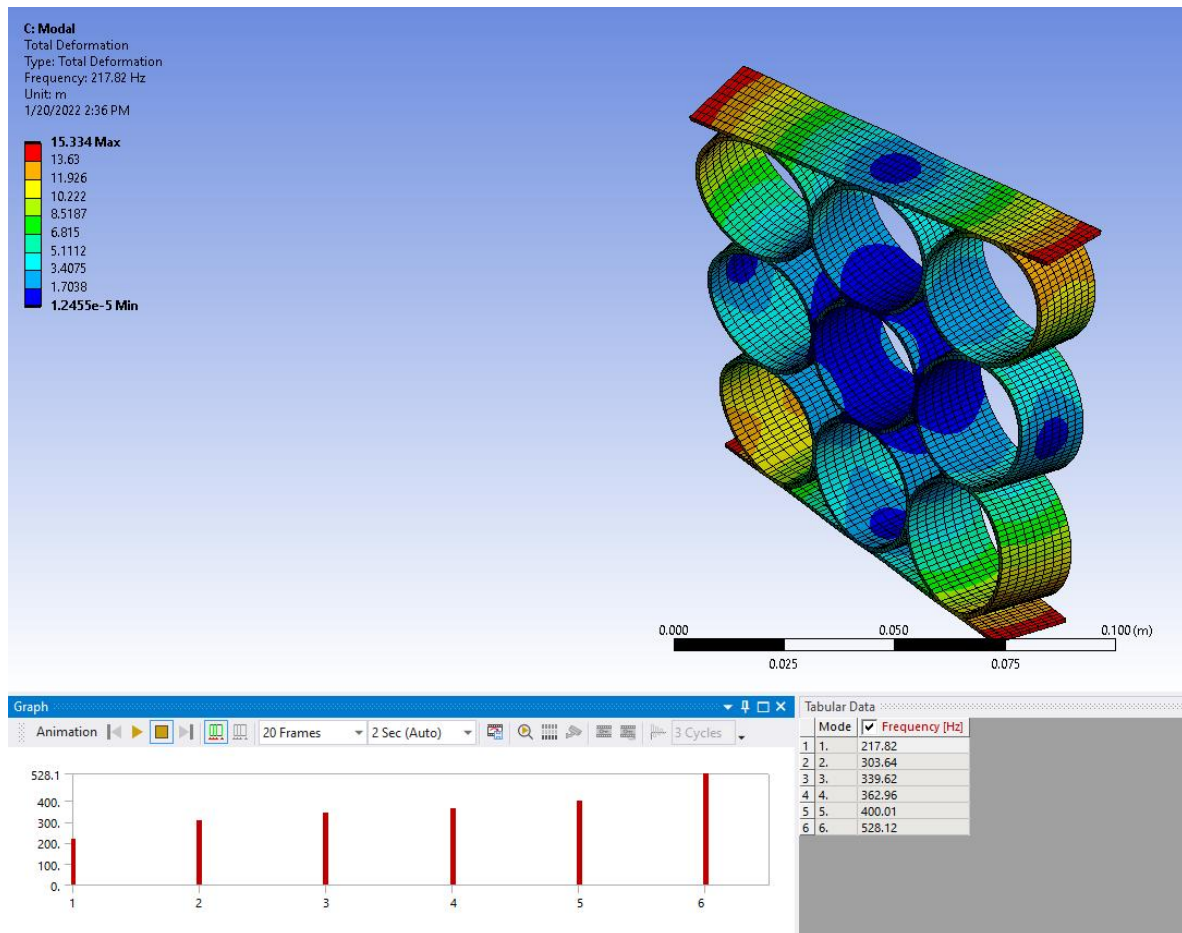


Figura 2

Primera deformación de la estructura cuadrada a 99.265 Hz

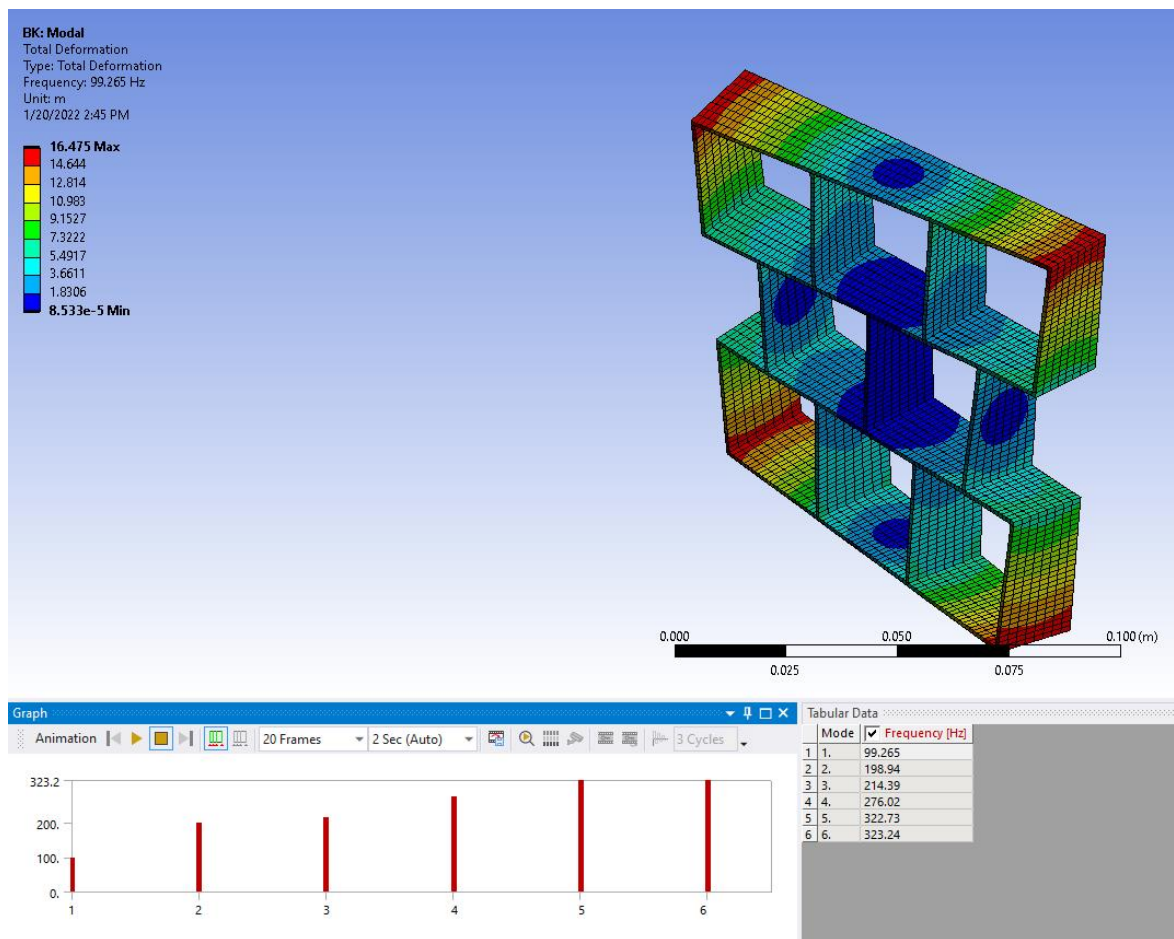


Figura 3

Primera deformación de la estructura hexagonal a 192.77 Hz

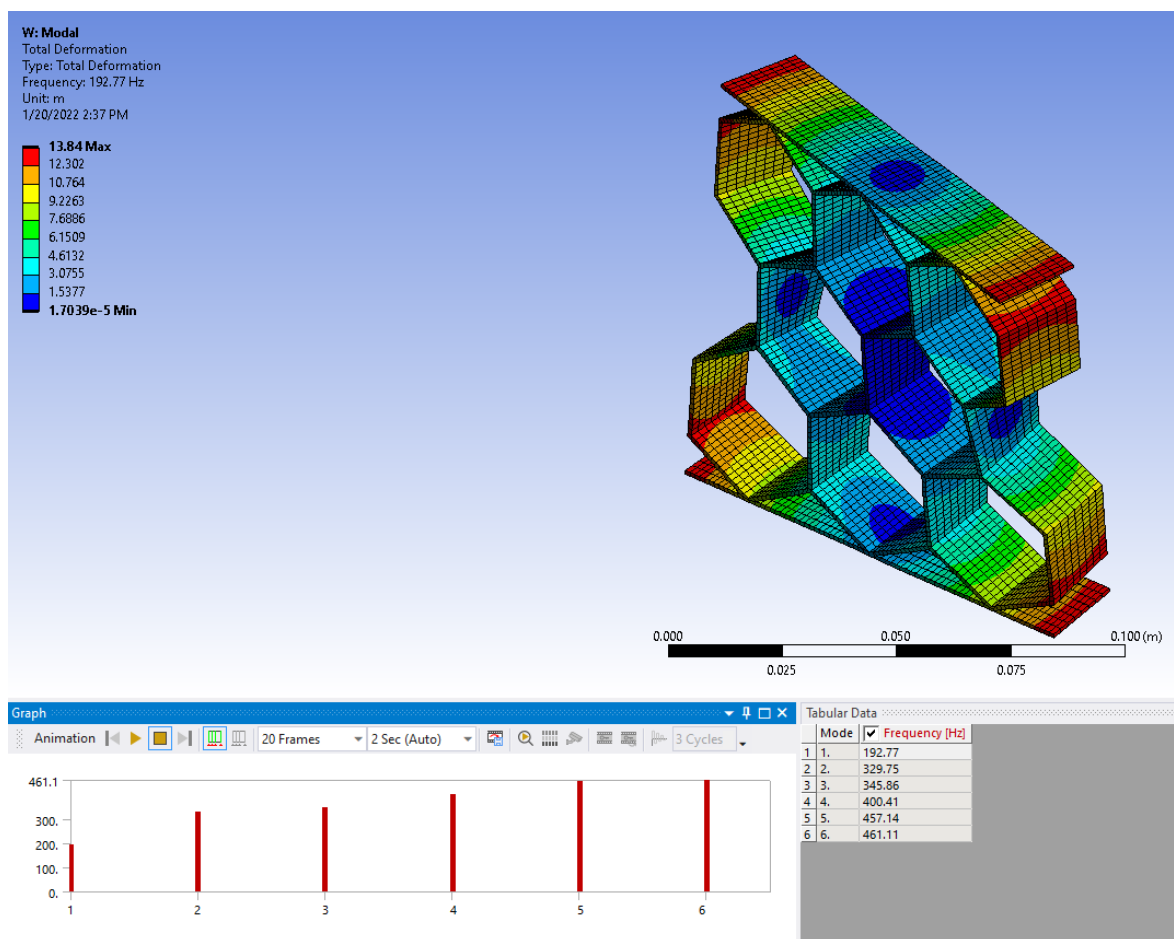


Figura 4

Primera deformación de la estructura octagonal a 215.89 Hz

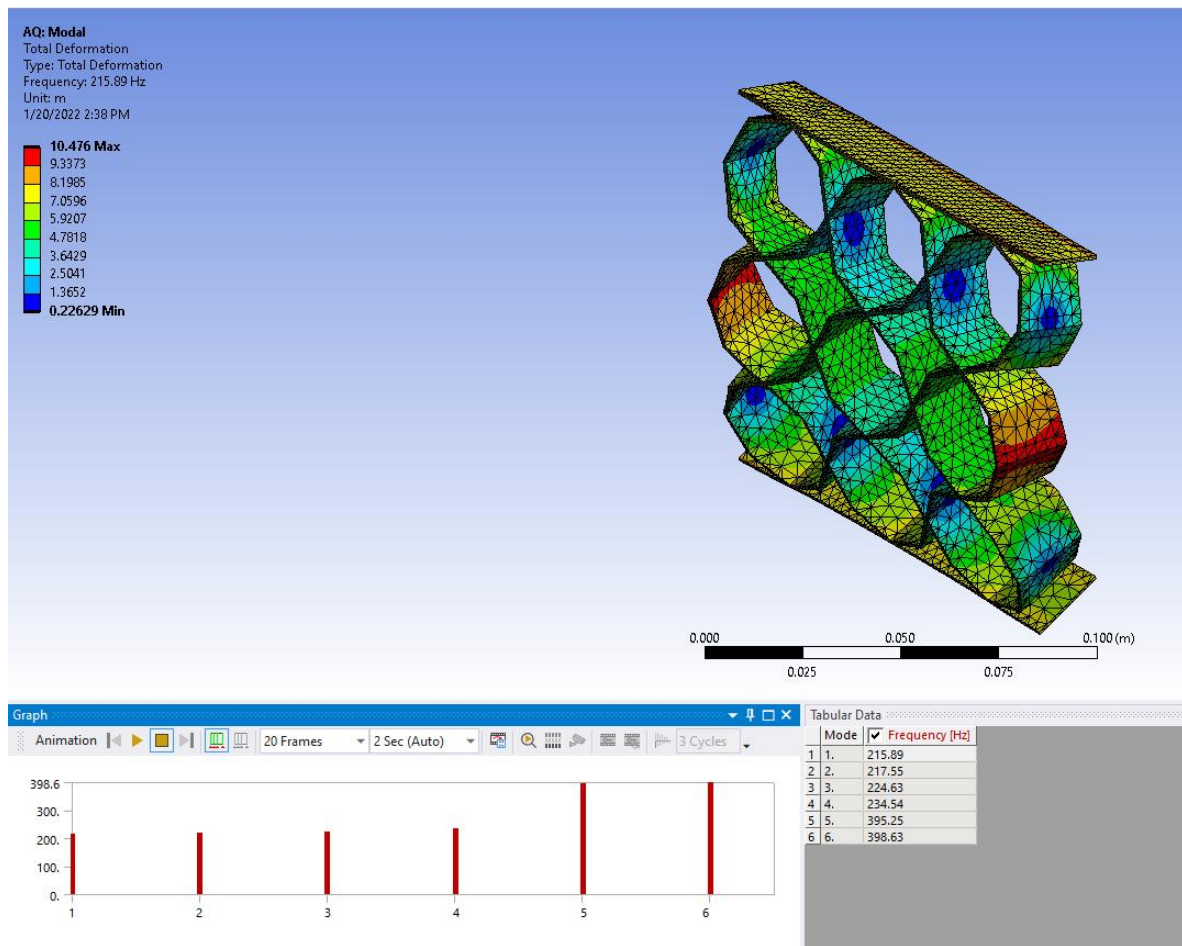


Figura 5

Primera deformación del resonador hexagonal a 31.115 Hz

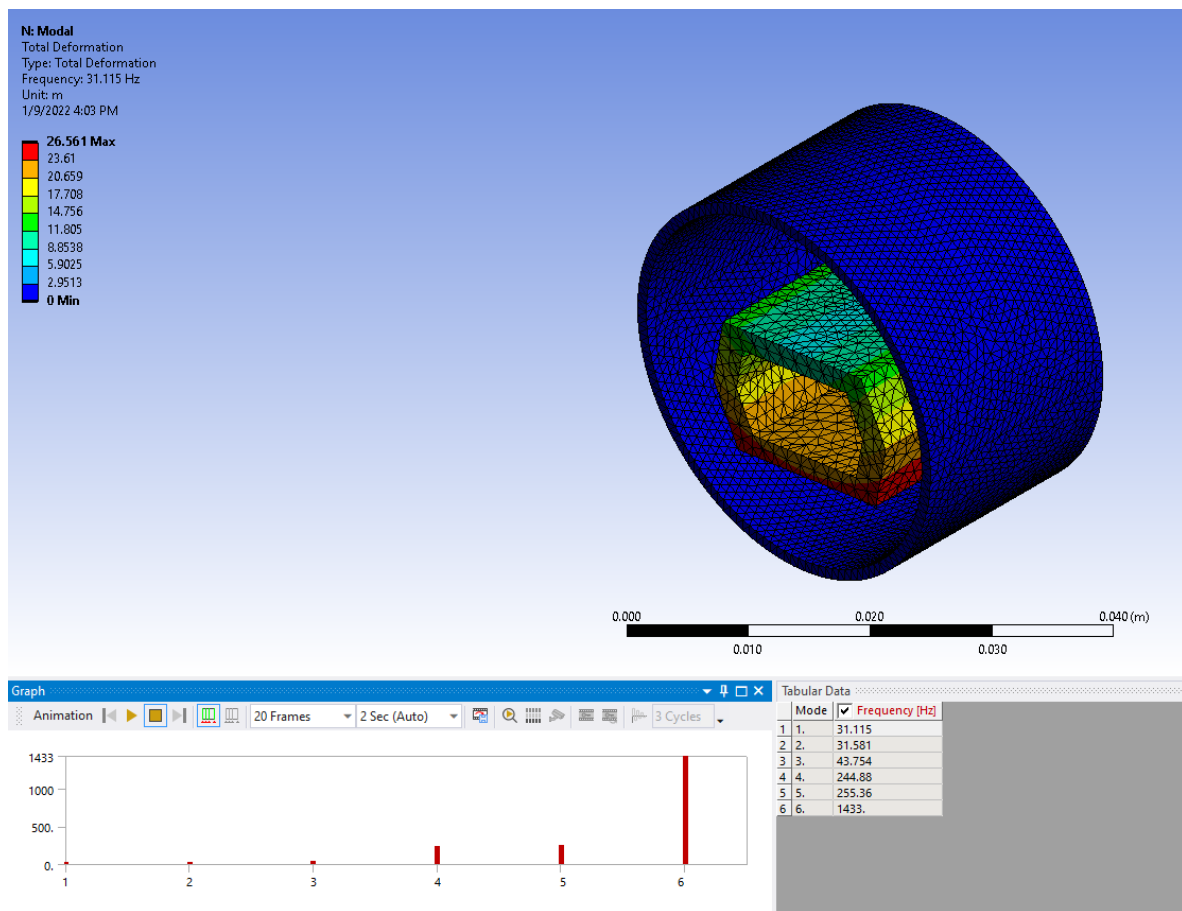


Figura 6

Primera deformación del resonador rectangular a 28.859 Hz

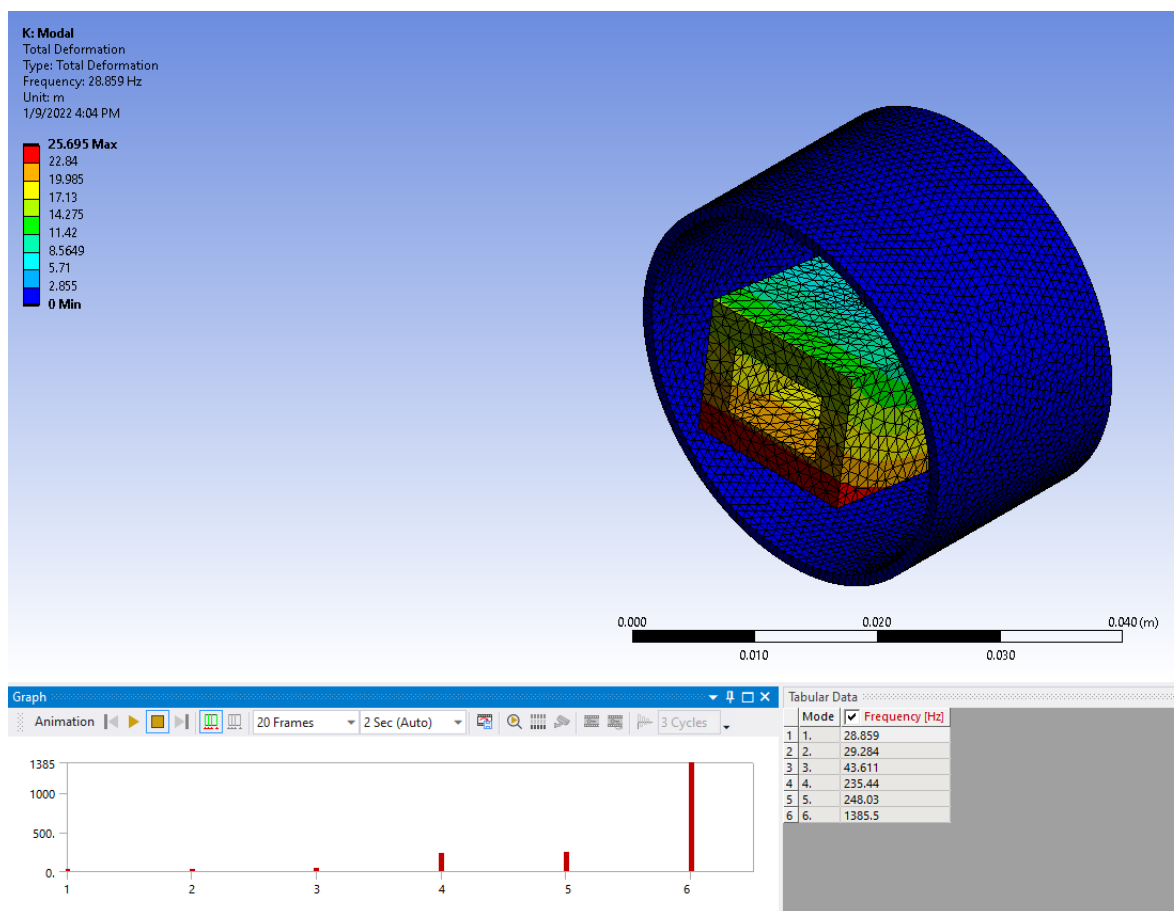


Figura 7

Primera deformación del resonador trapezoidal a 31.893 Hz

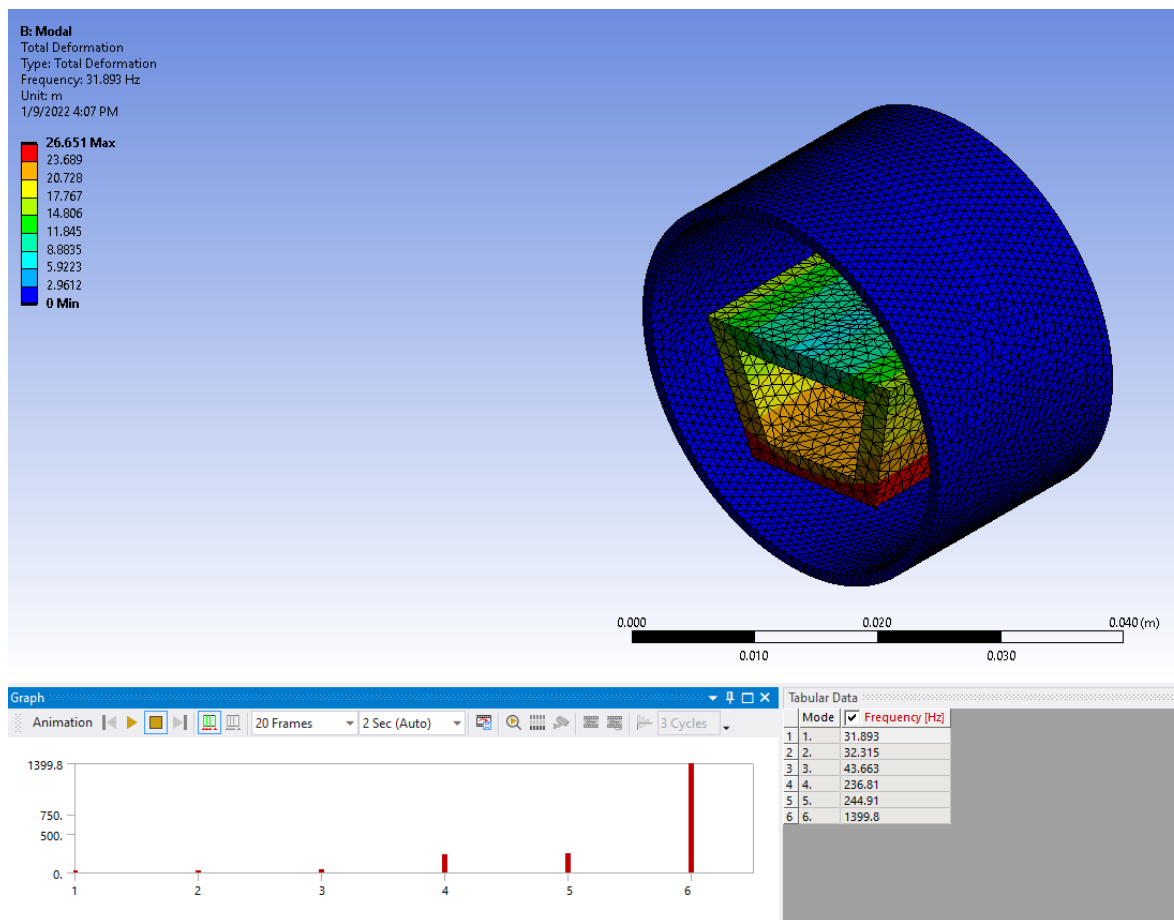


Figura 8

Primera deformación del resonador triangular a 31.615 Hz

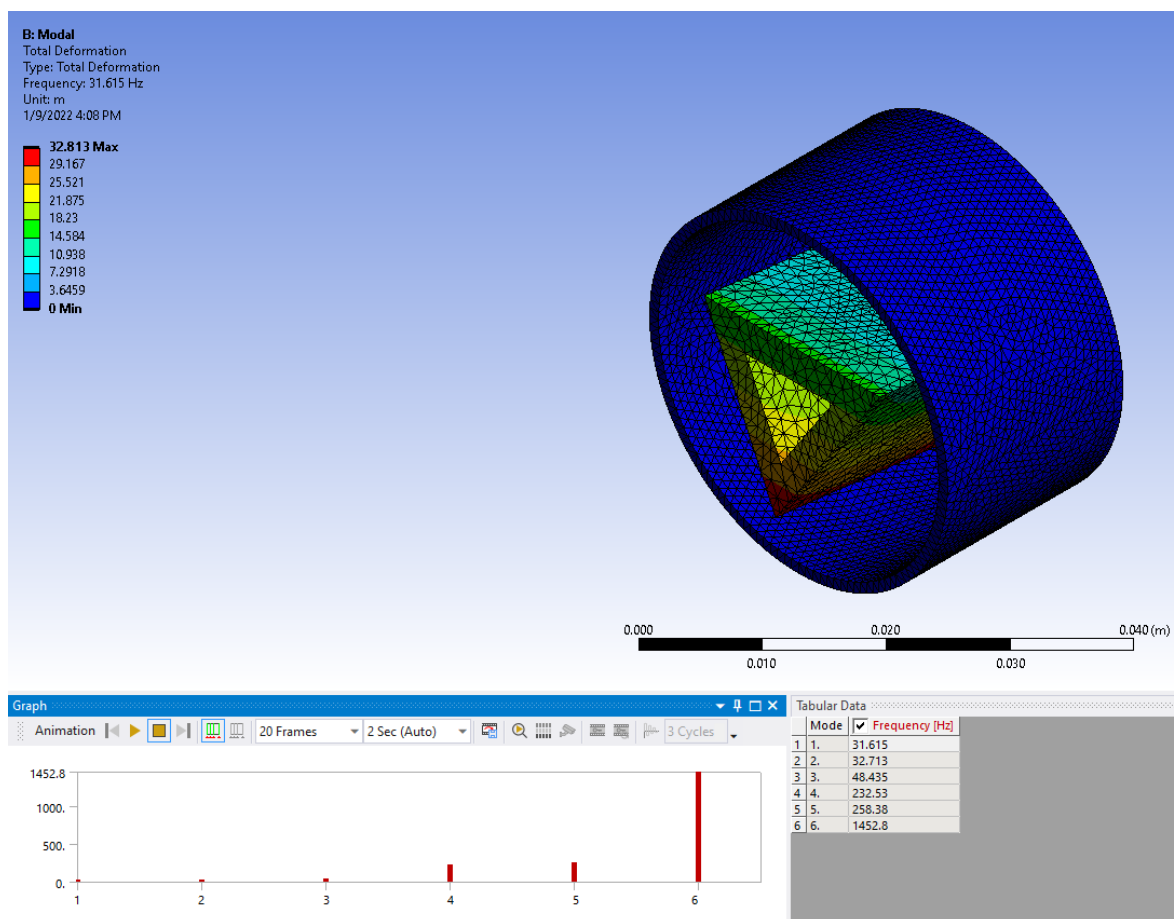


Figura 9

Primera deformación de la estructura circular con resonador hexagonal a 29.534 Hz

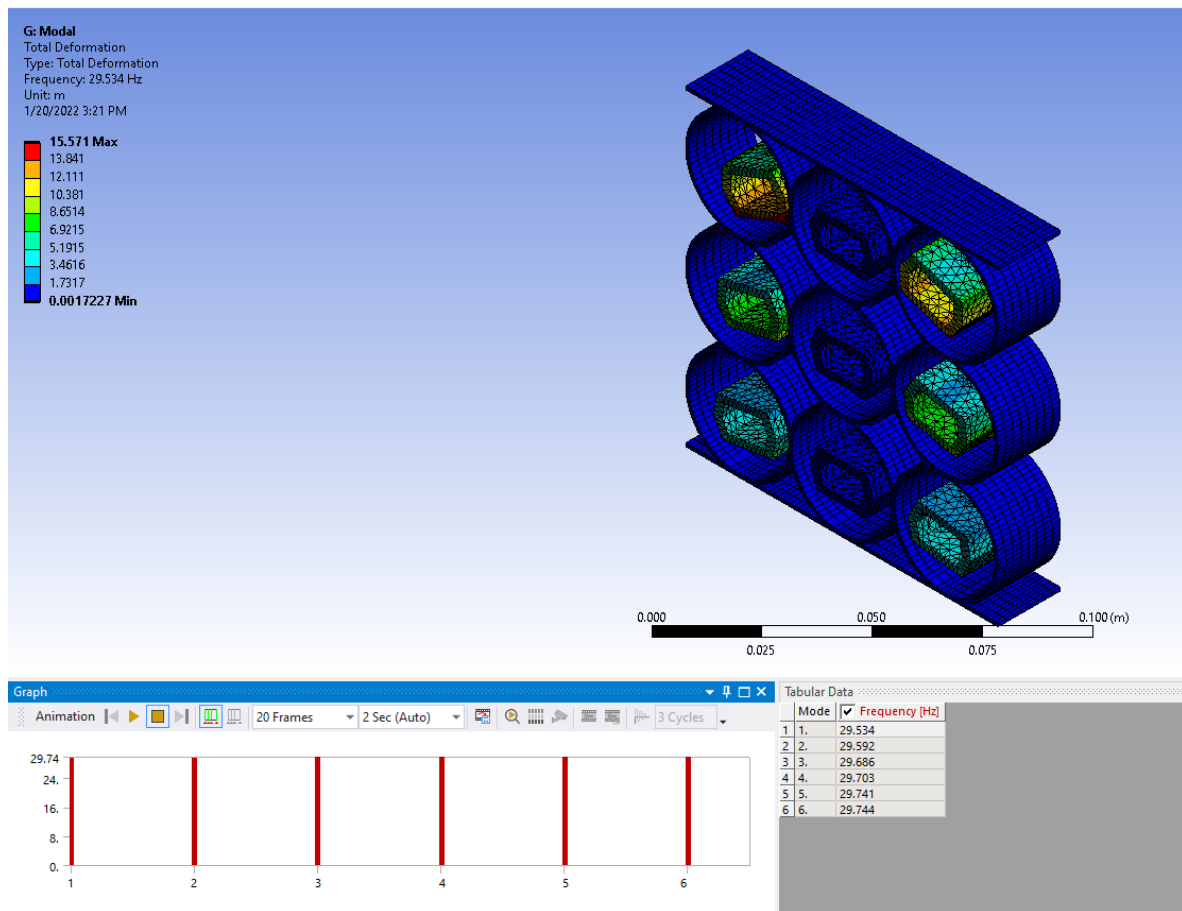


Figura 10

Primera deformación de la estructura circular con resonador rectangular a 29.263 Hz

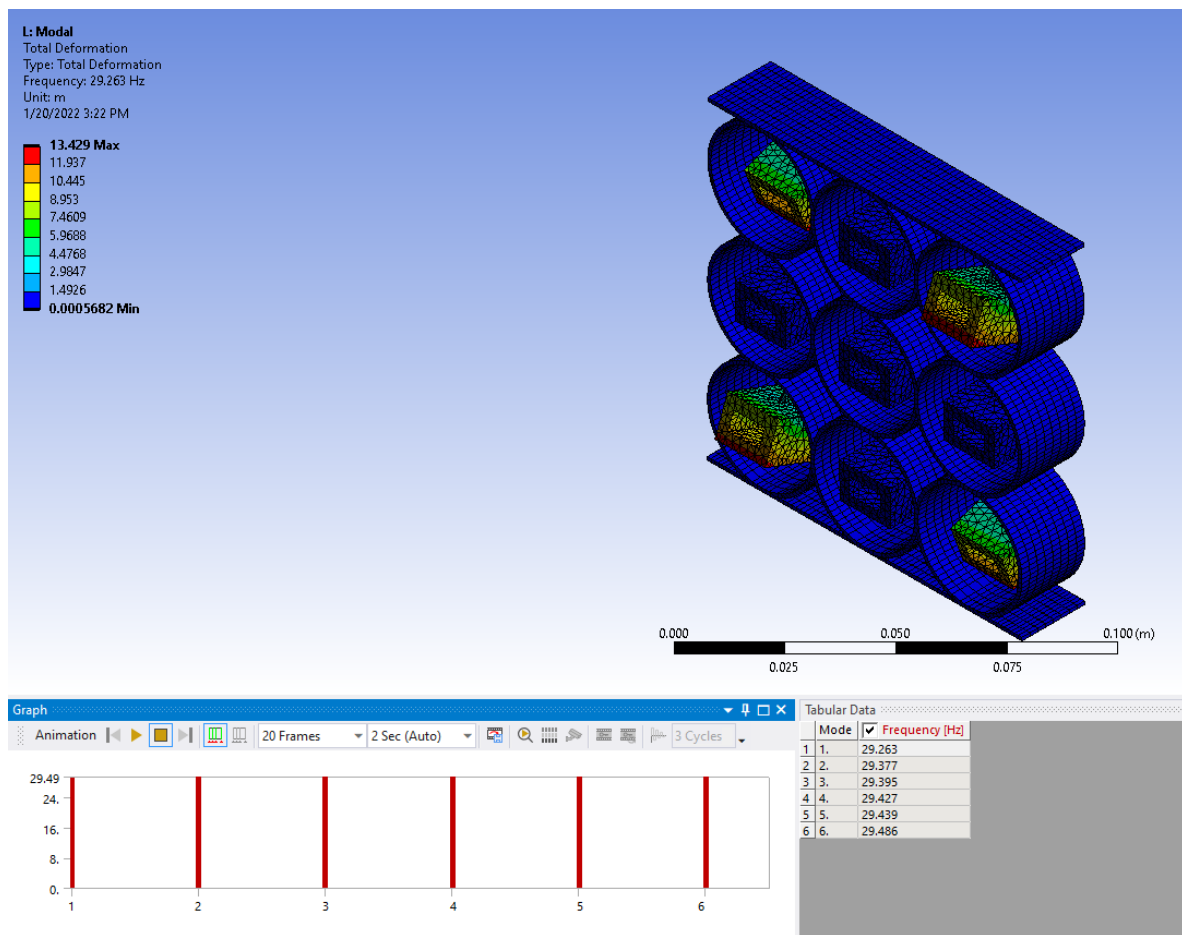


Figura 11

Primera deformación de la estructura circular con resonador trapezoidal a 30.269 Hz

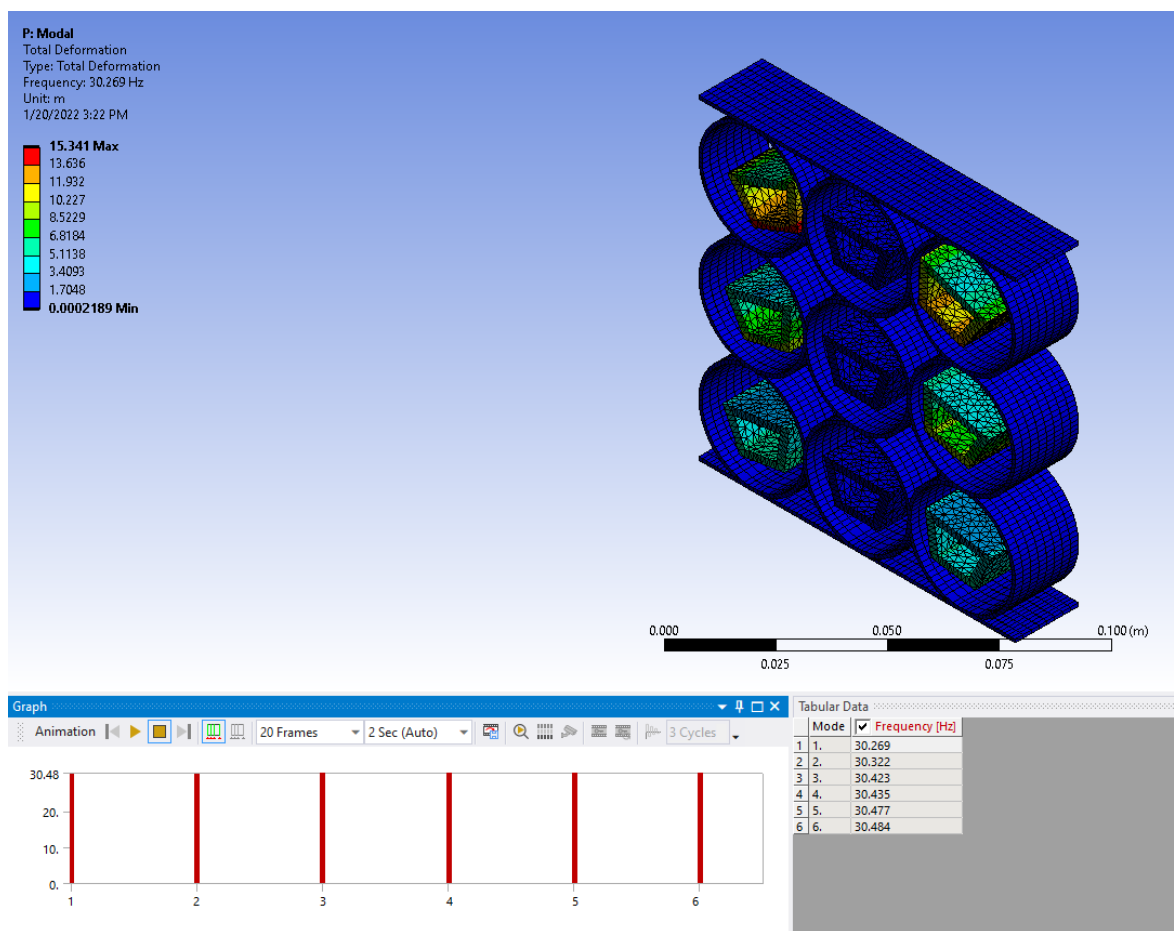


Figura 12

Primera deformación de la estructura circular con resonador triangular a 30.15 Hz

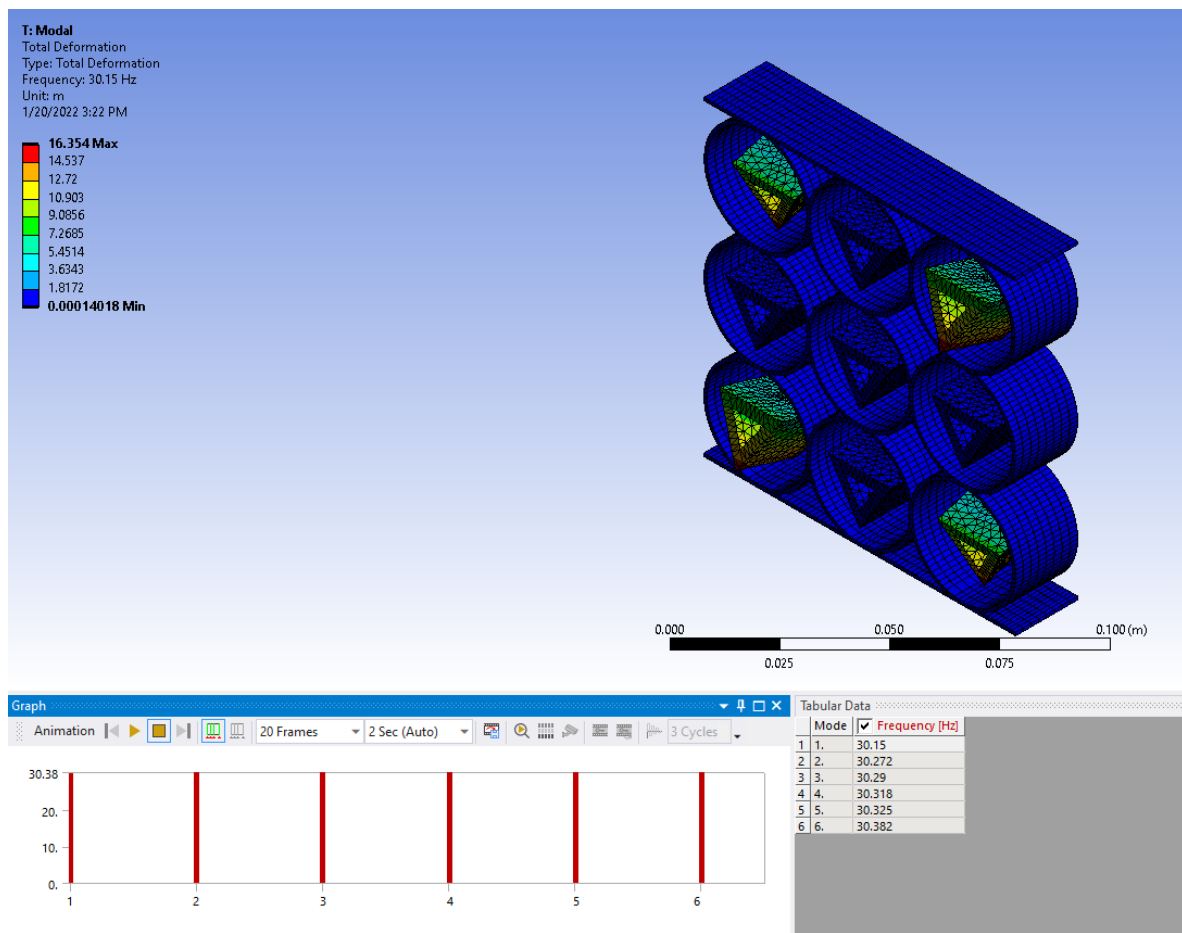


Figura 13

Primera deformación de la estructura cuadrada con resonador hexagonal a 29.696 Hz

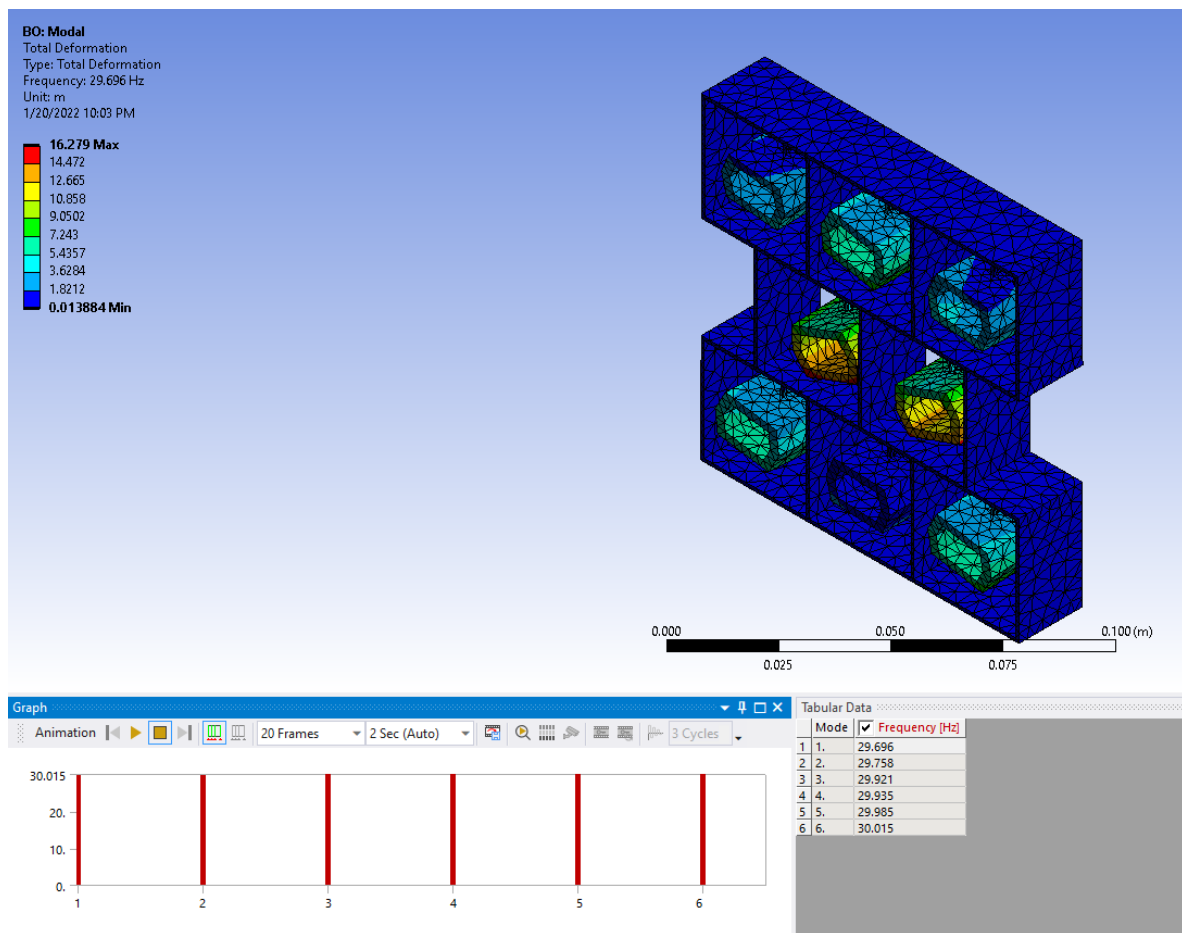


Figura 14

Primera deformación de la estructura cuadrada con resonador rectangular a 28.844 Hz

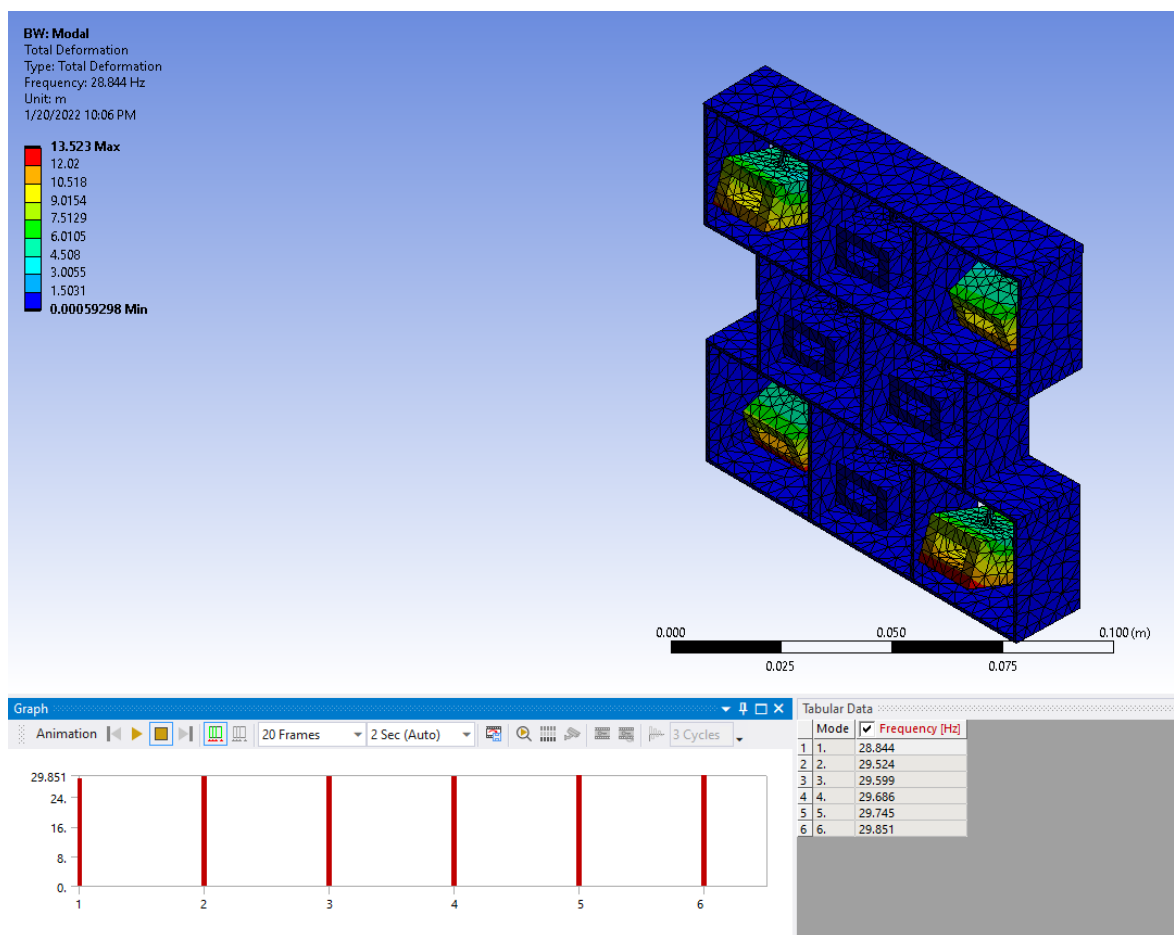


Figura 15

Primera deformación de la estructura cuadrada con resonador trapezoidal a 29.362 Hz

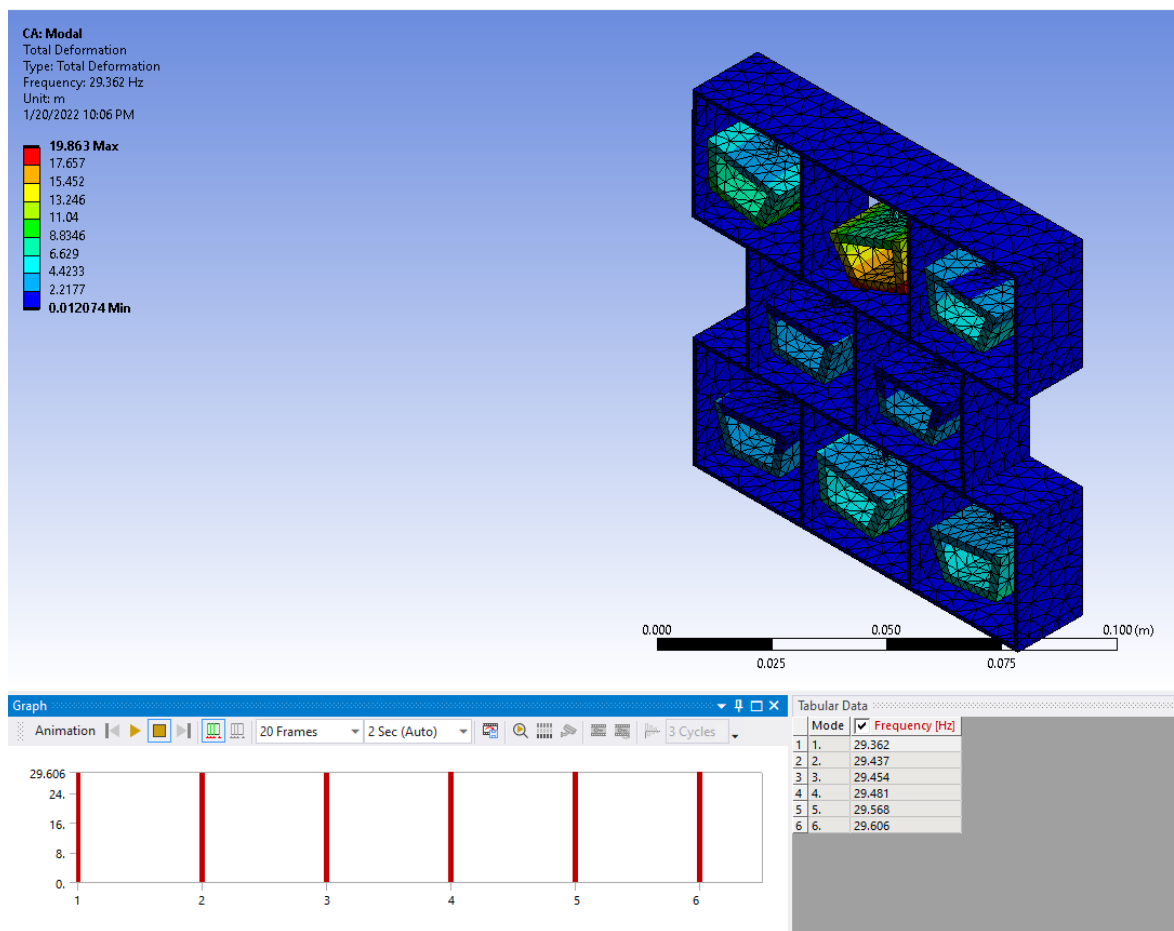


Figura 16

Primera deformación de la estructura cuadrada con resonador triangular a 29.7 Hz

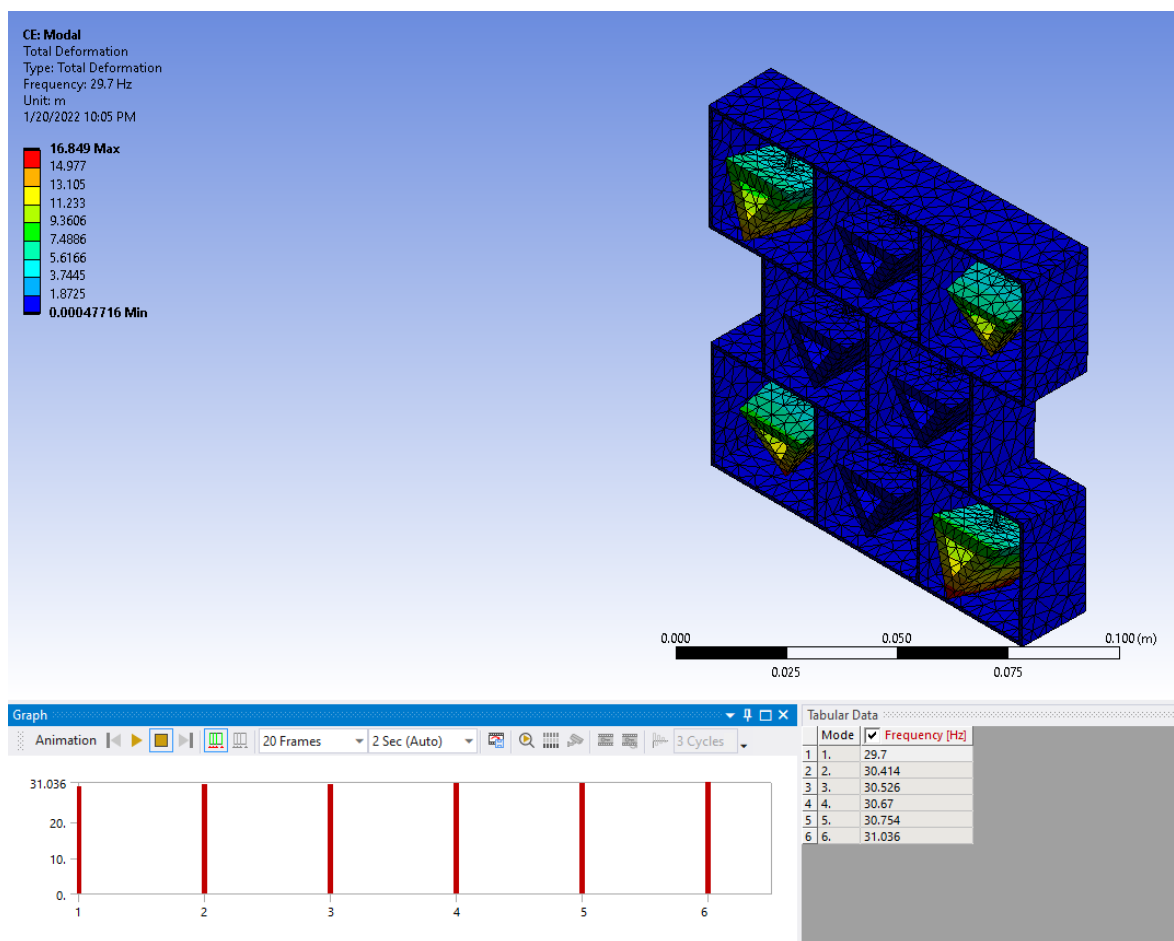


Figura 17

Primera deformación de la estructura hexagonal con resonador hexagonal a 30.309 Hz

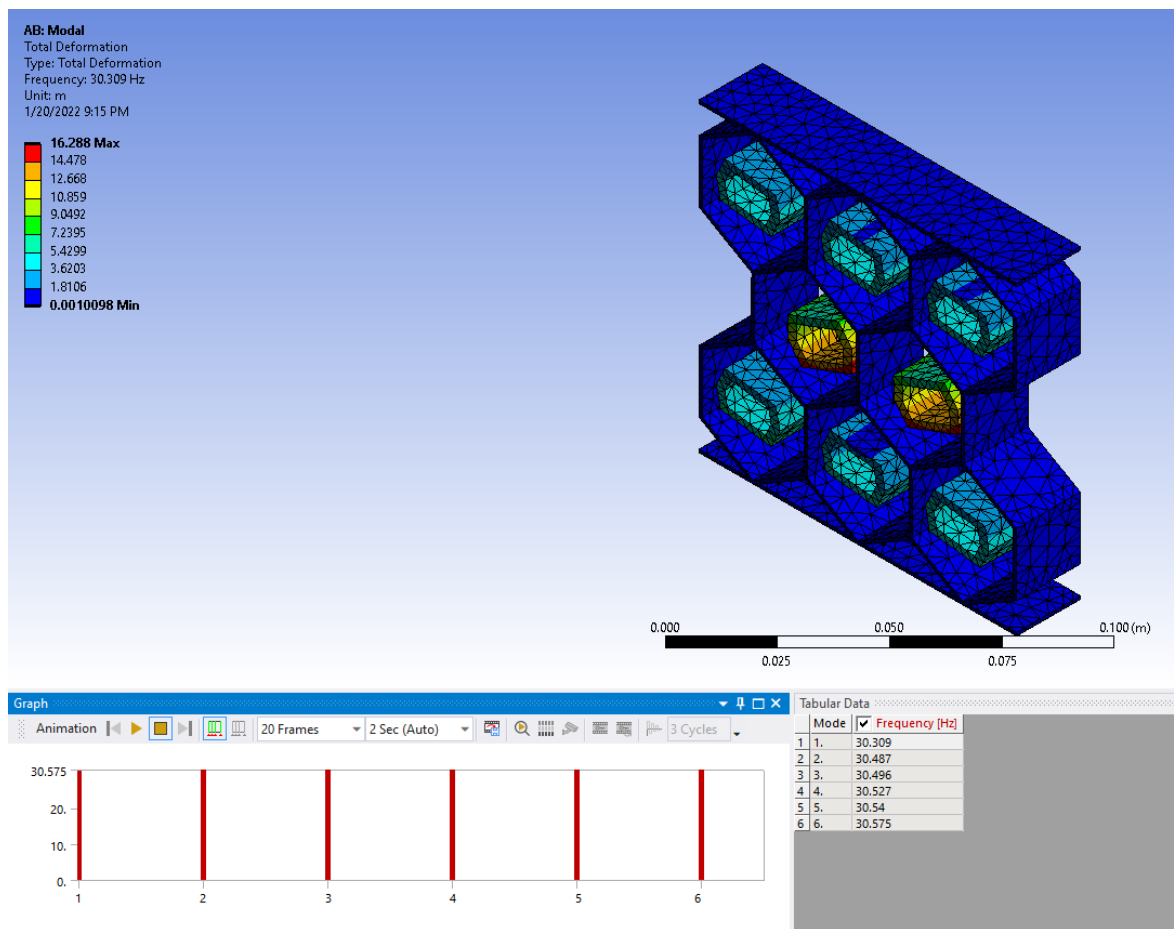


Figura 18

Primera deformación de la estructura hexagonal con resonador rectangular a 29.919 Hz

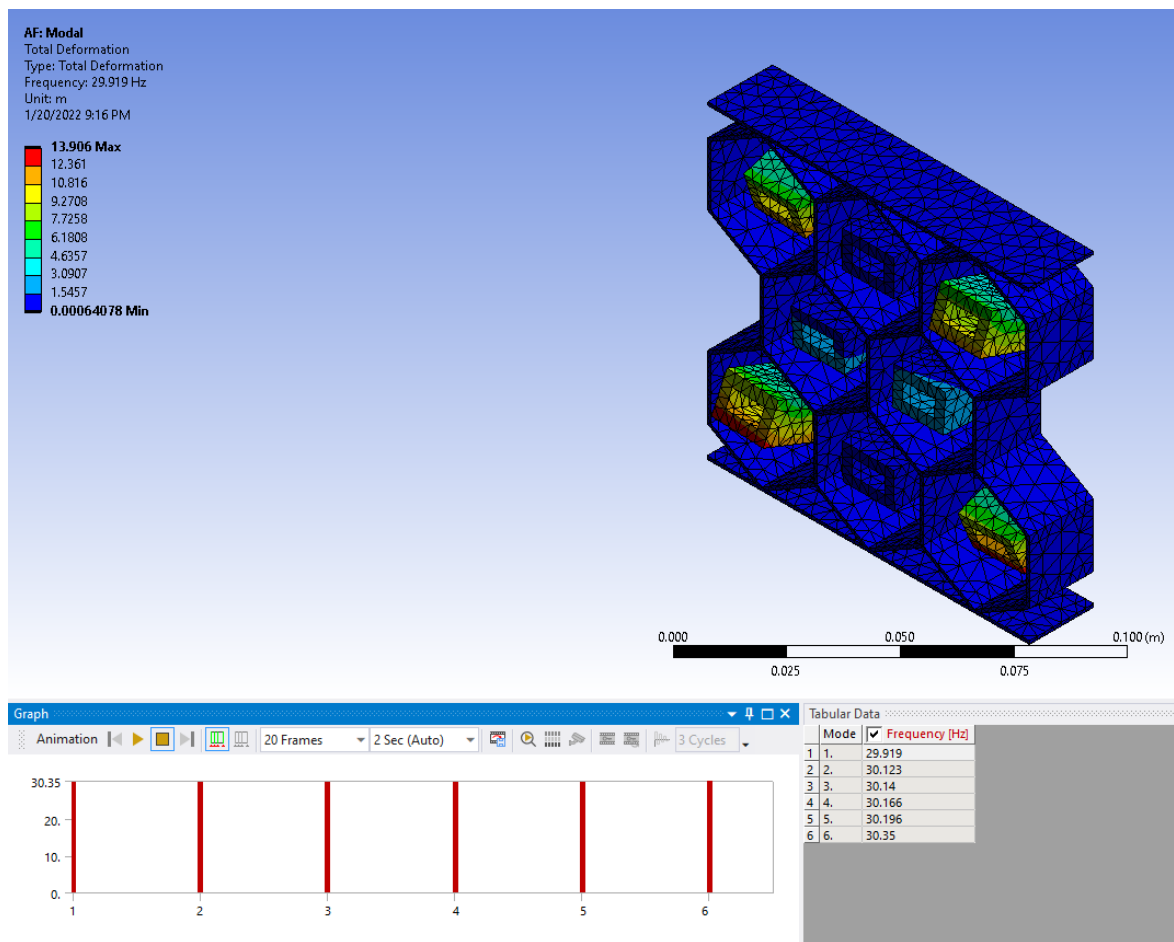


Figura 19

Primera deformación de la estructura hexagonal con resonador trapezoidal a 30.293 Hz

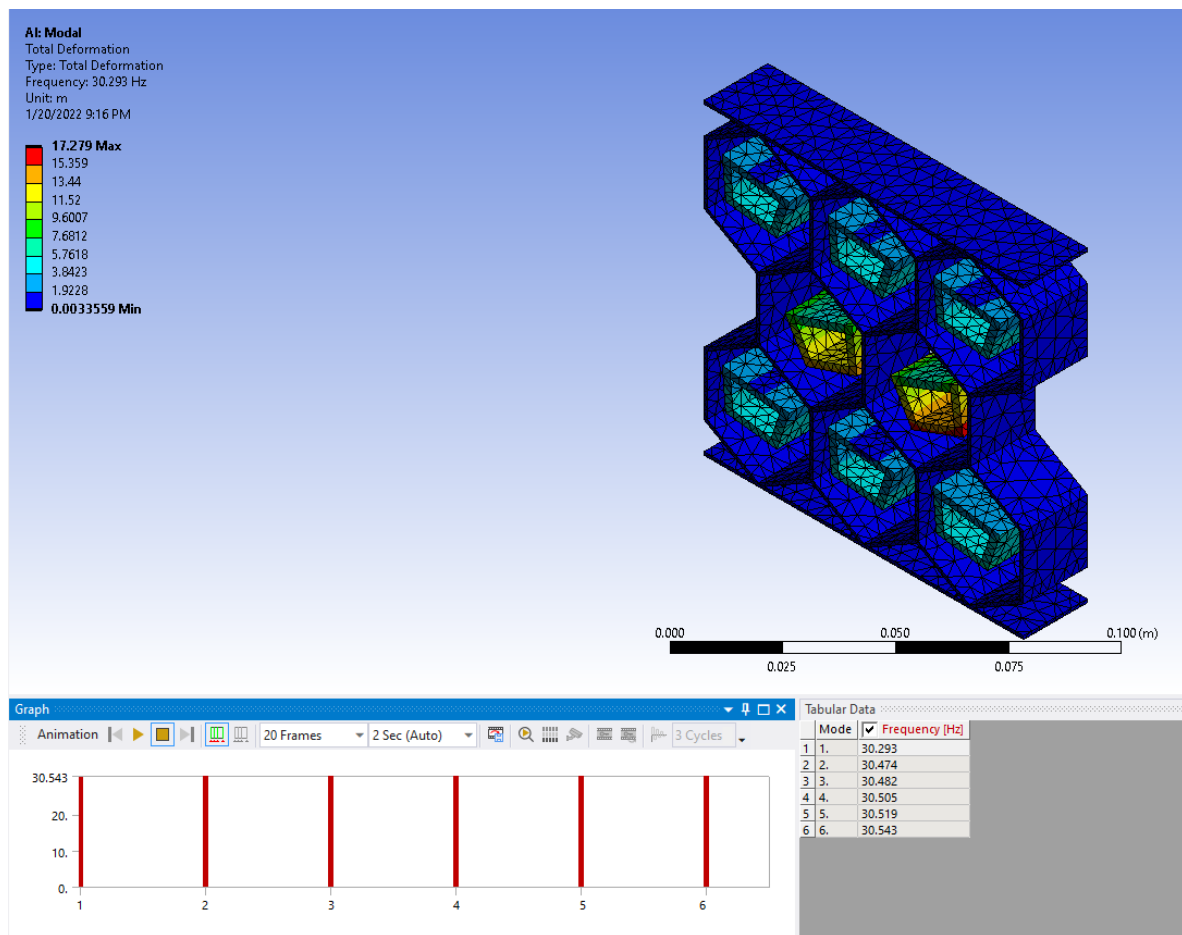


Figura 20

Primera deformación de la estructura hexagonal con resonador triangular a 30.859 Hz

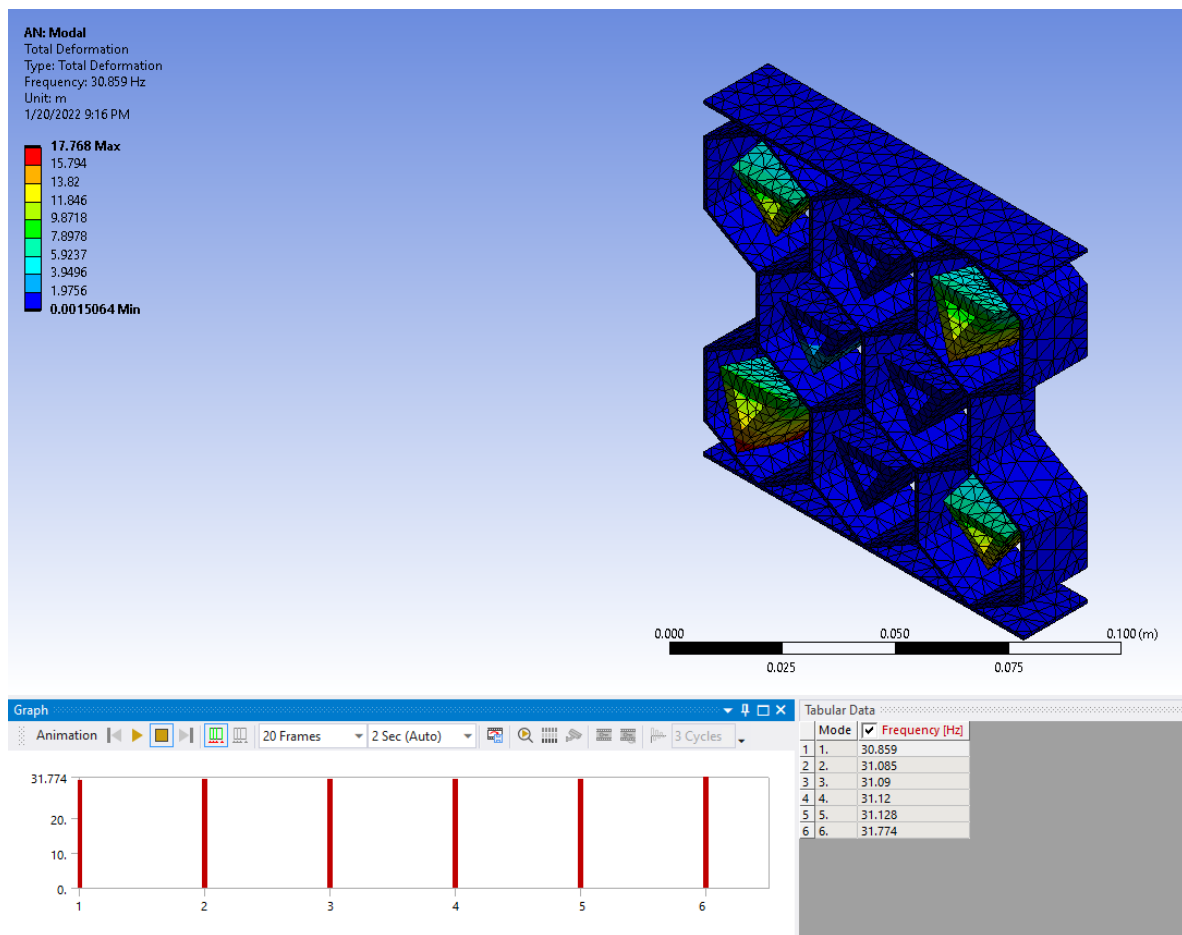


Figura 21

Primera deformación de la estructura octagonal con resonador hexagonal a 30.072 Hz

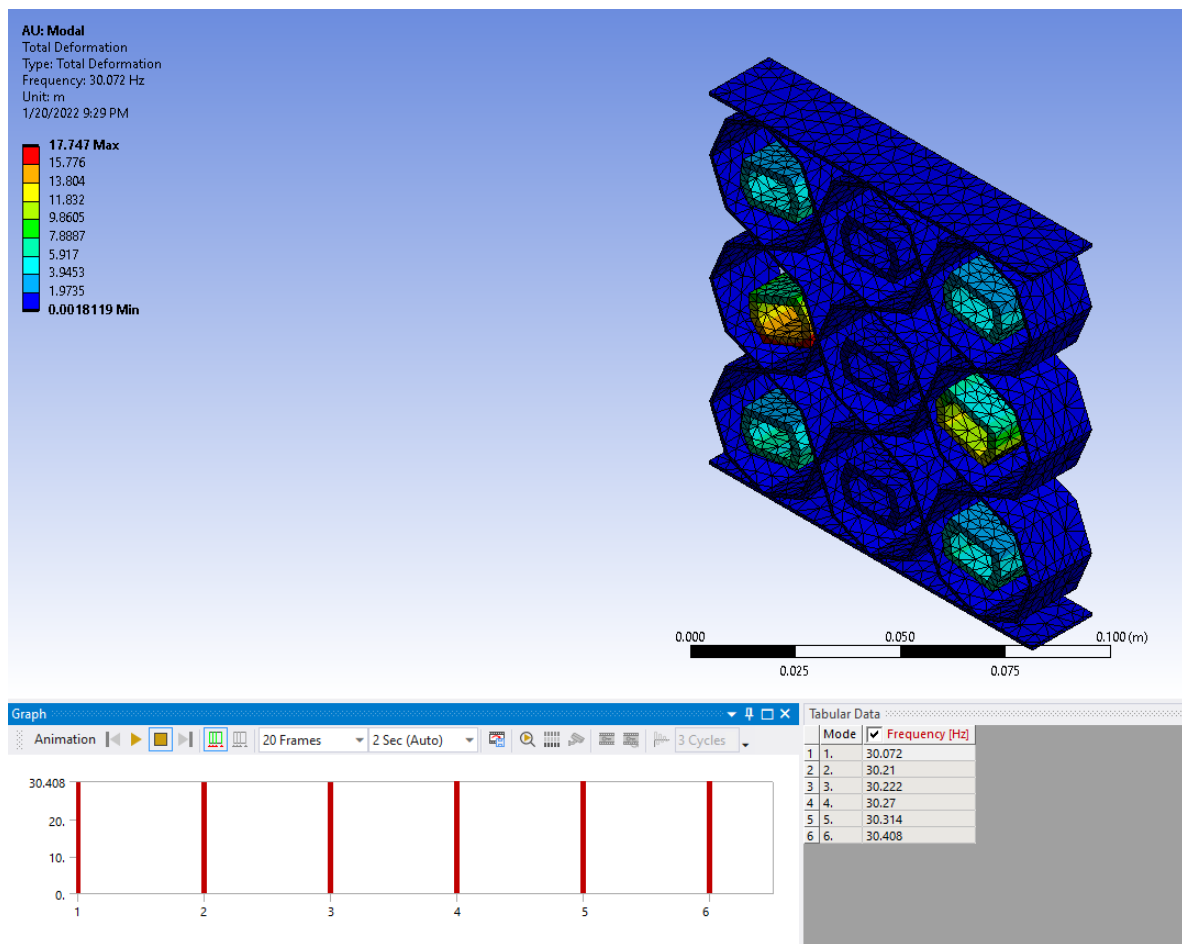


Figura 22

Primera deformación de la estructura octagonal con resonador rectangular a 29.821 Hz

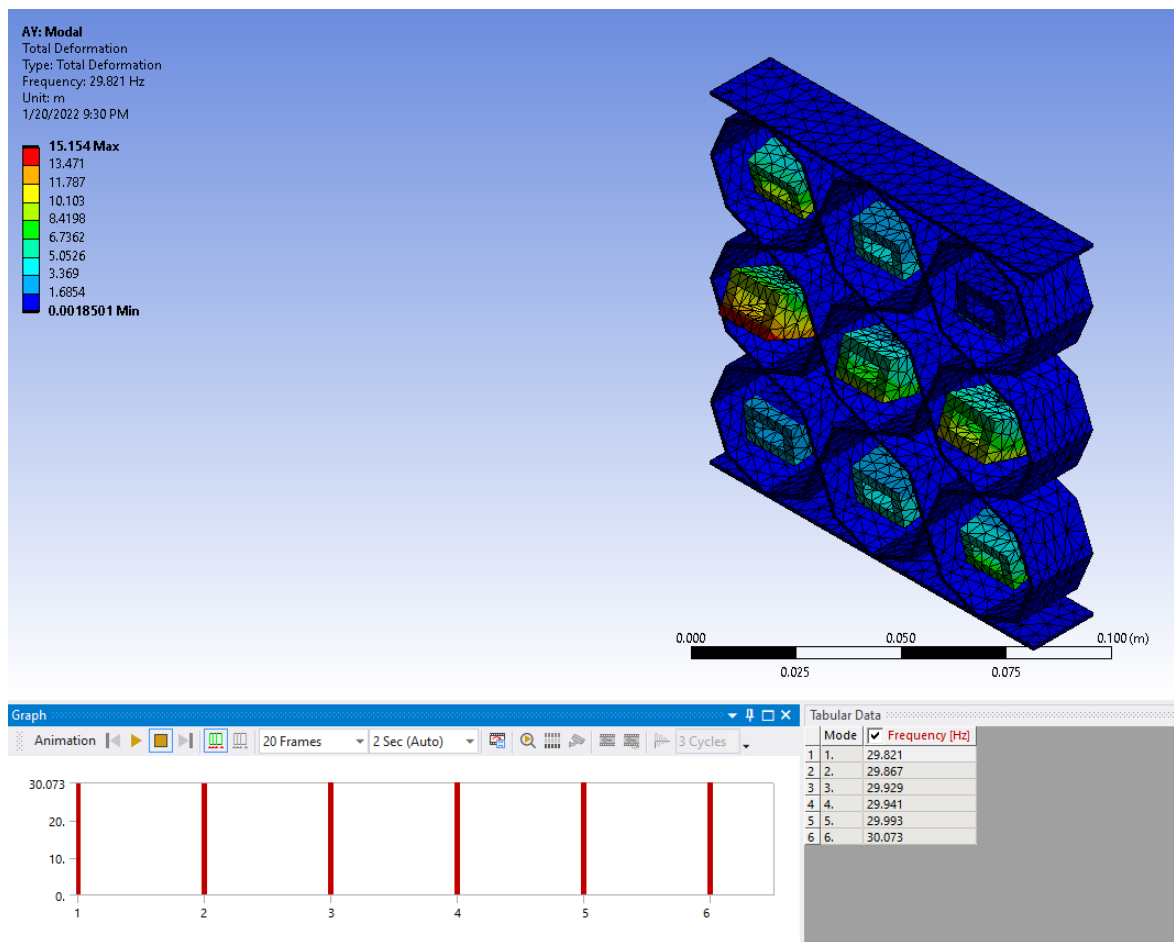


Figura 23

Primera deformación de la estructura octagonal con resonador trapezoidal a 30.038 Hz

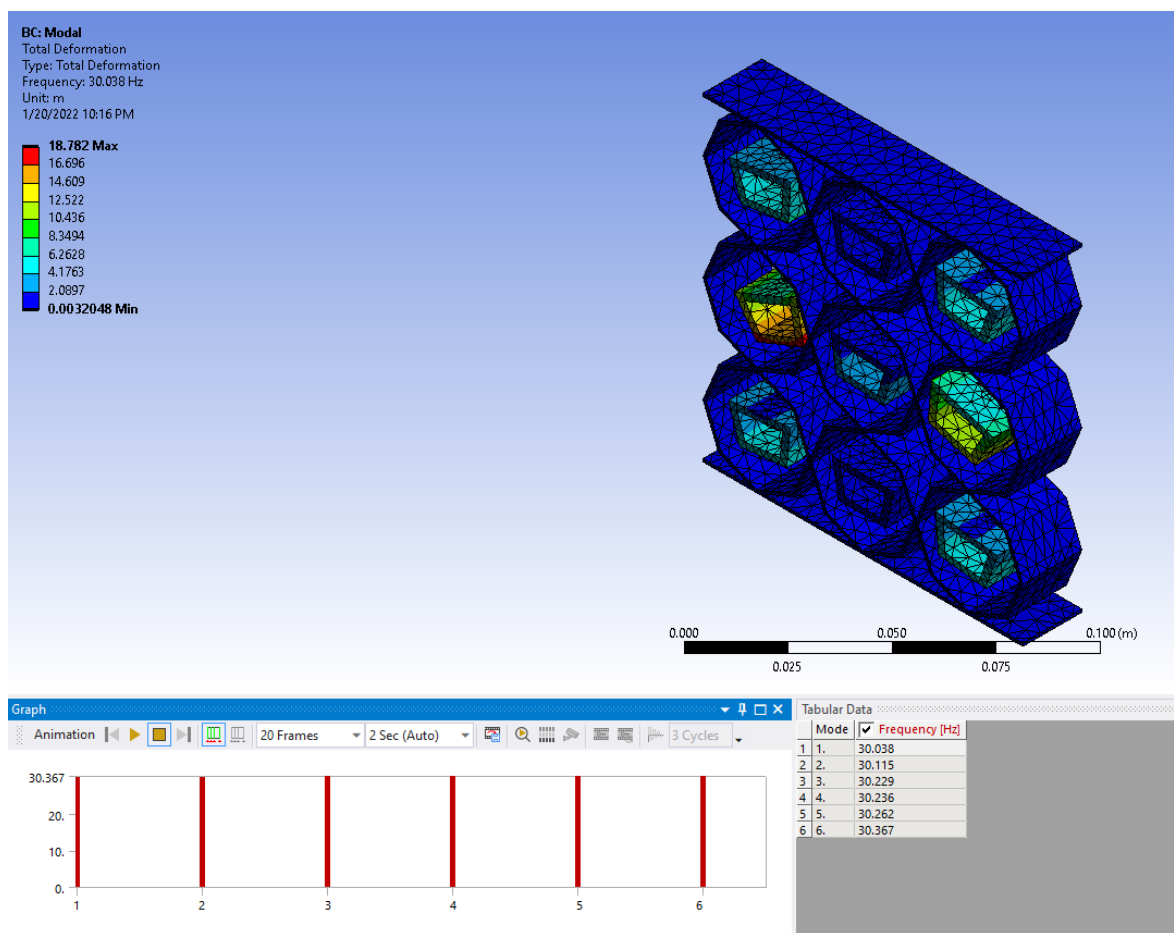


Figura 24

Primera deformación de la estructura octagonal con resonador triangular a 30.742 Hz

